

Иллюстрации к статье Селягина О.Б. "Кортландит-амфиболовый"

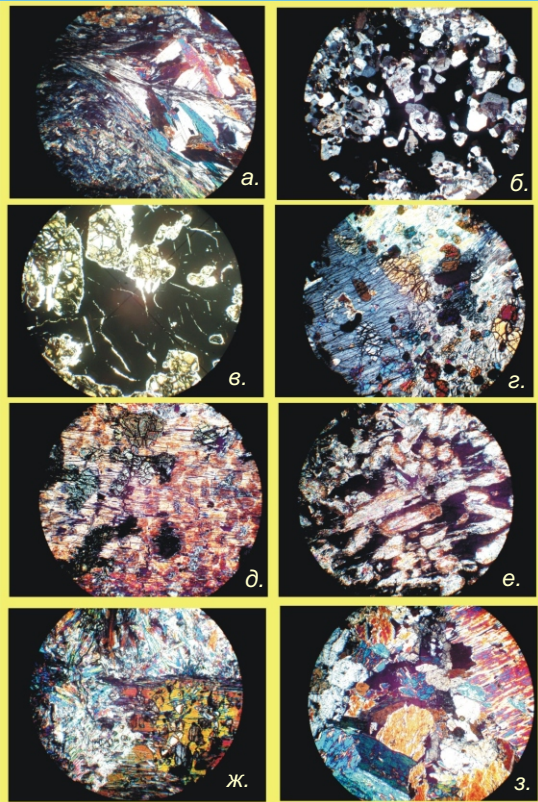


Рис. 4. Микрофотографии пород и руд Восточно-Геофизического интрузива.

Диаметр поля зрения 3.5 мм, николи скрещены. а - расщепление флогопит (хлорит)-тремолит-антофиллитовой породы нижней краевой группы у контакта интрузива; б - рудный плагиоклазит эддоконтактовой зоны; в - вкрапленники серпентинизированного по трещинам оливина в пирротин-пентландит-халькопиритовой руде низов слоя Ia; г - безрудный кортландит слоя Ib: видно равномерное распределение кристаллов оливина (высокий рельеф) в бронзите (слева), паргасите (справа), флогопите (вверху) и между ними; д - ойкокристал паргасита из горизонта переходных оливин-содержавших амфиболовых пироксенитов в основании слоя Ib, с зональным распределением хадакристаллов: оливина в ядерной части (вверху слева, замещен боулингитом), бронзита в краевой зоне (внизу справа, частично замещен тальком); е - ойкокристал паргасита (темное, погашен) с максимальным содержанием хадакристаллов бронзита из слоя амфиболовых пироксенитов Ib; ж - пойкилит-порфирированный амфиболовый пироксенит верхов слоя Ib: вкрапленник-ойкокрист паргасита в тальк-тремолит-антофиллитовой основной массе 1 типа; з - редкопорфирированный (край ойкокриста паргасита справа) пироксеновый горнблендит с тремолит-роговообманковой основной массой 2 типа, верх слоя Ib.

Иллюстрации к статье Сидорова М.Д. Степанова В.А. "Геофизические поля и никеленосность"

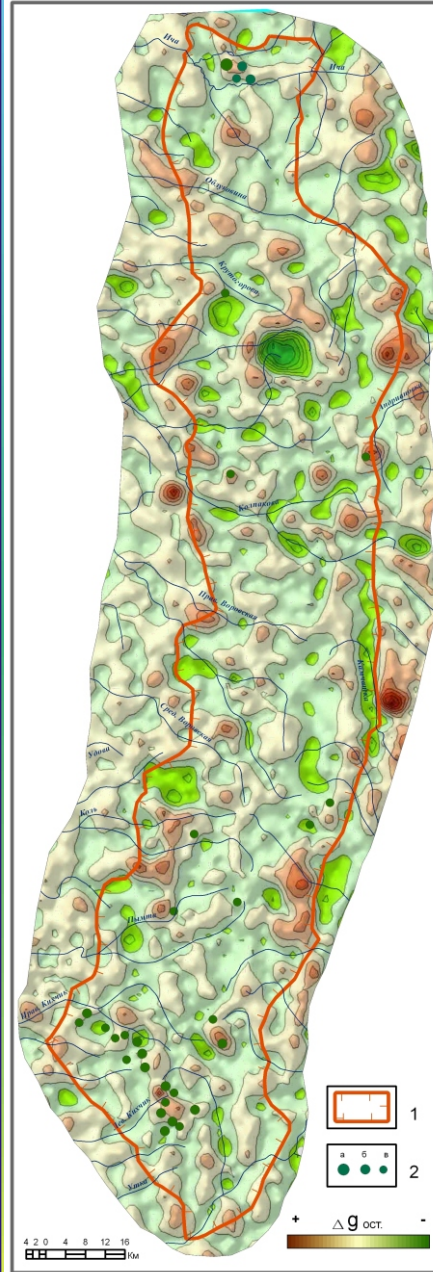


Рис. 6. Схема локальных аномалий силы тяжести. 1 - контур Камчатского срединного массива; 2 - месторождения (а), проявления (б), пункты минерализации (в) никеля.

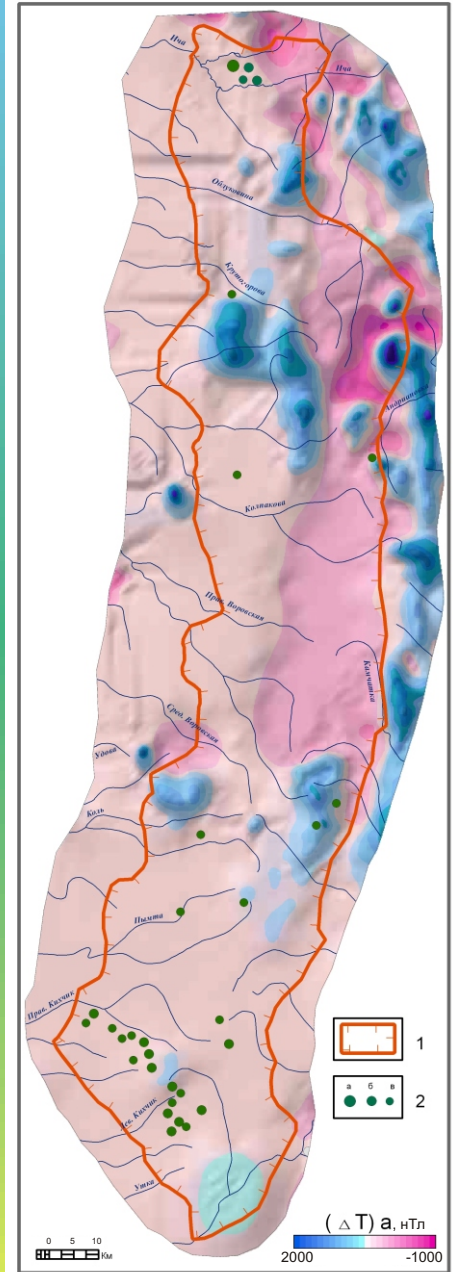


Рис. 8. Схема магнитных аномалий (T) (по материалам аэромагнитной съемки 1:200000). 1 - контур Камчатского срединного массива; 2 - месторождения (а), проявления (б), пункты минерализации (в) никеля.

Иллюстрации к сообщению Кугаенко Ю.А. "5-е Международное совещание"



Рис. 2. Бровка Большого кратера вулкана Токаче-Даке. Фото Е.В. Никоновой.



Рис. 3. Заградительное сооружение от схода наиболее крупных длыб обломочного вулканического материала. Фото М.Д. Герасименко.